# 悬臂梁式V带平板硫化机主机身研制

#### 朱开华

(福建省三明市东辰机械制造有限责任公司 福建 沙县 365500)

摘要: V 带平板硫化机是橡胶 V 带硫化的主要设备。伴随着低碳经济发展,对于橡胶 V 带硫化提出了较高的要求。为降低能源消耗,使用方便,适应行业的发展,研制了一种采用悬臂梁式主机结构的 V 带平板硫化机主机。本文阐述了主机的结构、应用有限元分析法对主机进行计算,加载合模力后对主机进行测试,对橡胶 V 带行业发展具有一定的参考价值。

关键词: 悬臂梁式; 有限元分析; 主机力学检测

#### 0 引言

在低碳经济发展需求不断增长的背景下,V带平板硫化机的热能可重复利用、损耗低的优势日益突显,将逐步取代部份V带硫化罐设备。目前,主流的V带平板硫化机多采用龙门式机架结构。龙门式平板硫化机虽具有力学结构合理的特点,但龙门式机架在使用过程中的缺点也较为明显。一是,操作人员必须在机架内工作,工作环境略显压抑。二是,因操作人员的高度限制,无法降低主机的高度,使设备在运输过程中出现货物超高现象,增加了运输成本。三是,受龙门式机架前立柱的影响,在设备使用时装、卸带胚不方便,且叉车无法进入主机的硫化位置,不方便更换模具。四是,随着中国人口红利逐渐弱化,机器代人成为行业发展方向,龙门式机架不便于装带机械手及V带输送装置的安装。

悬臂梁式 V 带平板硫化机是针对龙门式硫化机的缺点 改进而成的一种机型,其硫化工作区开阔,方便工人操作, 是未来平板硫化机发展的主流机型。

# 1设计方案

在方案的初步设计中,选定鄂式 C 型主机结构(见图1)和悬臂梁式主机结构(见图2)进行比较。以DLE850X1000型号进行初步计算,在同等强度和刚度条件下,悬臂梁式主机重量较 C 型主机结构轻 963kg,且配件的焊接及加工工艺性能较优,所以本方案中选用悬臂梁式主机结构。

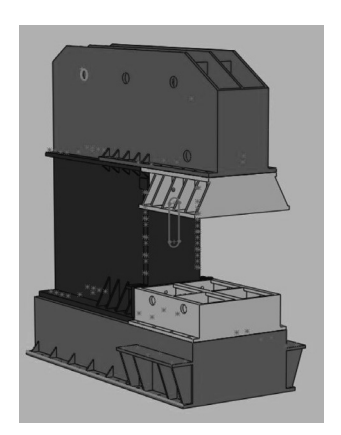


图1 鄂式 C型主机结构

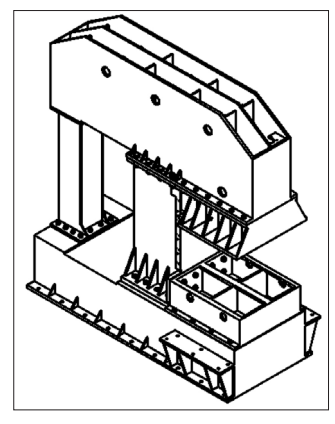


图 2 悬臂梁式主机结构

悬臂梁式主机结构由底盘、立柱、油缸座、支杆、主 机连接箱及悬臂梁组成,先由螺栓连接,经检测相关的工艺 及配合尺寸无误后,将各部件焊接成稳定的刚体,既保证了 机架的质量又优化了加工工艺性能。

## 2悬臂梁式主机有限元分析

随着计算机运算功能的日益增强,有限元分析在机械设计中越来越常用。在本次研发过程中,使用 SOLIDEORDS 软件的 Simulation 模块功能进行有限元分析。根据分析出的应力、位移及最小安全系数情况,设计满足强度和刚度要求的合理的主机结构。

# 2.1 主机建模

本文以 DLE850X1000 型号为实例进行主机架建模分析(见图 2)。悬臂梁式主机身零件通过高强度螺栓锁紧后焊接,在保证螺栓和焊缝在受力未失效的情况下,可视主机身为一个超静定的刚体。主机机架是主要承受因液压柱塞缸顶起产生的合模力的受力体,力学分析中主要考虑机架在合模力作用下的强度和刚度情况。平板硫化机的热板部分均与主机身进行隔热,在力学分析时不考虑温度对机架产生的影响。V带平板硫化机如图 3 所示,安装于油缸座上的柱塞缸在液压作用下,柱塞升举下承压板、热板、V带成型模具及 V带

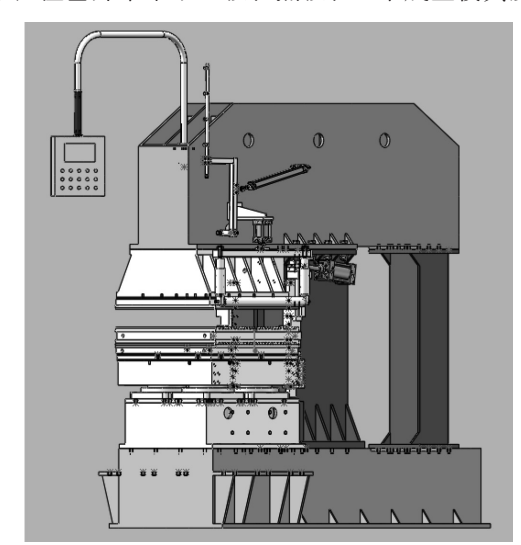


图3 V 带平板硫化机

- 71 -

胚料与主机连接箱接触,产生合模力作用于悬臂梁式主机身 上。根据材料力学可知,合模力对悬臂梁、立柱等构件产生 弯矩, 在悬臂梁与主柱及底盘与立柱的结合处产生的应力最 大, 悬臂梁的悬臂最外侧产生的绕度最大。

# 2.2 主机材料模型

悬臂梁主机采用 Q235B 钢板焊接, 在应用材料中选 定普通钢板。弹性模量 E=2.1E+11Pa; 泊松比 μ=0.3; 密度 ρ=7.85kg/cm³; 屈服强度 σs=2.2E+8Pa;模型类型:线性 弹性各向同性。

# 2.3 建立约束

悬臂梁主机在安装时要求主机落入机坑, 机坑基础为 厚 800mm 的钢筋混泥土结构, 主机底盘用 30 根 M30 的地 脚螺栓与基础锁紧。在力学分析时可将主机底盘简化为不变 形的稳定刚体, 所以将约束建立在主机底盘底面上。

## 2.4 建立载荷

由图 3 可知,液压柱塞工作时产生的合模力通过下承板、 热板、模具等构件,最终作用于主机连接箱下底面,反作用 力作用于油缸座上顶面。

 $F=P \times L \times b \times 100$ 

F---合模力, N;

P-V 带的单位压力, MPa (2.0 ~ 2.5MPa);

L-V 带模具槽板的长度, mm;

b-硫化 V 带的总宽度, mm。

在本实例中, P 值取上限 2.5MPa, L 值为 1000mm; b 值以 C 型 V 带计算, C 型 V 带顶宽 22.85mm, 条数 30 条。 b=22.85X30=685.5mm, 计算时取值 700mm 进行校验计算。

 $F=2.5 \times 1000 \times 700=1750000(N)$ 

2.5 建立连接方式

在本实例中,悬臂梁主机架由底盘、立柱、支杆、油缸座、 主机连接箱、悬臂梁六个部件组成,在零部件接触时,接触 类型设定为接合,零部件设定为全接触。

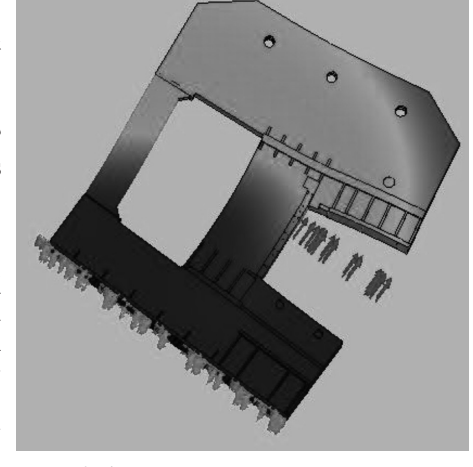
# 2.6 力学计算

在力学分析中,运用 Simulation 模块对应力、应变、位 移及安全系数进行计算,并运用探测工具对关键位置数值取 值分析。

2.6.1 应力 如图4所 示, 最大应力 1.607e+08Pa, 小 于屈服强度 σs  $=2.2E+8pa_{\circ}$ 

2.6.2 位移

绕度最大值 1.878mm 位 于 悬臂梁最外侧顶 部。在实际应用 中, 主机连接箱 前端与后端的位 图 4 应力图



移量不同, 使模具合模不密, 会造成 V 带边角圆带的质量 问题,通过探测可知连接箱前端位 Z 向移量为 1.447mm, 后端位 Z 向移量为 0.602 mm, 差值 0.845mm。在设计 中通过模具的不等厚度进行补偿,可保证 V 带的硫化 质量.

2.6.3 应变

最大值: 1.230e-08

最小值: 5.074e-04

2.6.4 安全系数

最小安全系数: 1.212

2.7 样机力学试验

在本试验中, 主机油缸座安装 4 个柱塞直径 240mm 油 缸,油缸管路采用并联连接方式,油缸上安装下承板,下承 板上放置等高块将力传递至主机连接箱上。将磁性百分表 安装在底盘上,测量主机连接箱前端①及后端②的位移量。 通过柱塞缸的油压换算出合模力。

 $F=4 \pi r^2P$ 

F---合模力, N:

π -- 圆周率 3.14;

R-柱塞半径, mm;

P—油压, MPa。

有限元计算值与实际测量值如下表所示。

# 表 有限元计算值与实际测量结果

序	油压	合模力	计算值 (mm)		测量值(mm)	
号	(MPa)	(N)	①	2	1	2
1	8	1446912	1.32	0.62	1.60	0.80
2	10	1808640	1.61	0.78	1.83	0.93
3	12	2170368	1.87	0.95	2.21	1.10

通过上表分析可知,实际测量值比计算值略有增大, 主要是主机未与地面进行连接,底盘弹性变形对测量值造成 的影响,但最大实验合模力比设计合模力增大24%时,主 机未发生失效现象,设计合理。

#### 2.8 小批试制

在完成样机试制后,公司进行首批16台的小批试制, 经用户一年的使用,未发生质量问题,用户对该型号产品反 应良好,在市场获得较好的推广。

## 3 结语

综上所述, 悬臂梁式主机结构合理, 较鄂式 C 型主机 结构经济性好,较龙门式结构具有操作方便的特点,采用主 机分体式结机械加工更方便生产加工。随着计算机技术的 发展,SOLIDEORDS 软件在机械设计中的应用越来越广泛, 减轻了设计人员的工作量,提高了工作效率。

[1] 俞亚新. 鄂式硫化机的三维有限元法分析 [J]. 机械设计 与制造,2006(6).

[2] 李延林, 吴宇方, 翟祥国. 橡胶工业手册 [M]. 北京: 化 学工业出版社,1993.